

Роль пространственной дисперсии электромагнитной волны при ее прохождении сквозь квантовую яму

© Л.И. Коровин, И.Г. Ланг, Д.А. Контрерас-Солорио*, С.Т. Павлов*,**

Физико-технический институт им. А.Ф. Иоффе Российской академии наук,
194021 Санкт-Петербург, Россия

*Esquela de Física de la UAZ, Apartado Postal
с-580, 98060 Zacatecas, Mexico

**Физический институт им. П.Н. Лебедева Российской академии наук,
117924 Москва, Россия

E-mail: ilang@dor.ioffe.rssi.ru

E-mail: pavlov@ahabon.reduas.mx

(Поступила в Редакцию 3 апреля 2001 г.)

Развита теория прохождения света сквозь квантовую яму, помещенную в сильное магнитное поле, перпендикулярное плоскости ямы, в которой имеют место межзонные переходы. Длина волны света предполагается сравнимой с шириной ямы. Получены формулы для отражения, поглощения и пропускания, в которых учтены пространственная дисперсия монохроматической световой волны и различие в показателях преломления квантовой ямы и барьера. Предполагается нормальное к плоскости ямы падение света и учитывается один возбужденный уровень. Показано, что учет указанных двух факторов сильнее всего влияет на отражение, так как наряду с отражением, вызванным межзонными переходами в квантовой яме, появляется дополнительное отражение от границ ямы. Наиболее радикальные изменения в отражении имеют место в случае, когда обратное радиационное время жизни возбужденного состояния в квантовой яме мало по сравнению с обратным нерадиационным временем жизни. Со стороны больших значений ширины ямы теория ограничена условием существования уровней размерного квантования.

Работа выполнена при финансовой поддержке Российского фонда фундаментальных исследований (проект № 00-02-16904) и Программы МНТК "Физика твердотельных наноструктур" (97-1099).

При прохождении света сквозь квантовую яму в отраженной и прошедшей волнах появляются характерные особенности, по которым можно судить об электронных процессах, протекающих в квантовой яме [1–4]. Наиболее интересные результаты получаются в том случае, когда уровни энергии электронной системы являются дискретными. Это имеет место в сильном магнитном поле, направленном перпендикулярно плоскости ямы, либо при учете экситонных состояний в нулевом магнитном поле. Современные полупроводниковые технологии позволяют изготавливать квантовые ямы высокого качества, когда радиационное уширение линии поглощения может быть сравнимо с вкладами нерадиационных механизмов релаксации или превзойти их. В такой ситуации нельзя ограничиться линейным по взаимодействию электрона с электромагнитным полем приближением, а необходимо учитывать все порядки этого взаимодействия [5–18].

Отражение, поглощение и пропускание электромагнитной волны, которая взаимодействует с дискретными уровнями электронной системы квантовой ямы в области частот, соответствующих межзонным переходам, рассматривались также в работах [12–18]. В них в качестве возбуждающей волны рассматривались как импульсы света [12–17], так и монохроматическое облучение [18]. Учитывались один [16], два [17,18] и большое число возбужденных уровней [15]. Результаты этих работ справедливы для сравнительно узких квантовых ям, когда

выполняется неравенство

$$\kappa d \ll 1, \quad (1)$$

где d — ширина квантовой ямы, κ — модуль волнового вектора \mathbf{k} световой волны. Фактически параметр κd в упомянутых работах полагался равным нулю и вычисленные там отражение, поглощение и пропускание не зависели от ширины ямы d .

Для численной оценки величины κ используем длину волны излучения гетеролазера на основе арсенида галлия, равную 0.8μ . Этой длине волны соответствует энергия $\hbar\omega_l = 1.6\text{ eV}$. Если показатель преломления вещества квантовой ямы $\nu = 3.5$, то $\kappa = \nu\omega_l/c = 2.8 \cdot 10^5\text{ cm}^{-1}$ (c — скорость света в вакууме). Для ширины ямы $d = 500\text{ \AA}$ параметр $\kappa d = 1.4$. Таким образом, для достаточно широких ям учет пространственной дисперсии возбуждающей волны может оказаться существенным.

Для широких квантовых ям неравенство $d \gg a_0$, где a_0 — постоянная решетки, является очень сильным и при описании прохождения световой волны сквозь квантовую яму можно использовать уравнения Максвелла для сплошной среды. При таком подходе, строго говоря, следует учитывать различие в показателях преломления барьера и ямы. Тогда должно появиться дополнительное отражение от границ квантовой ямы, которое будет уменьшаться с уменьшением параметра κd , но в области $\kappa d \simeq 1$ может в некоторых случаях сравниться или превзойти отражение, обусловленное межзонными

переходами в самой квантовой яме. Вместе с отражением будет изменяться и прохождение световой волны. Таким образом, наряду с пространственной дисперсией электромагнитной волны должно быть учтено различие в показателях преломления барьера и квантовой ямы.

Рассмотрению влияния этих двух факторов на отражение, пропускание и поглощение электромагнитной волной, проходящей сквозь квантовую яму и вызывающей в ней межзонные переходы, и посвящена настоящая работа.

1. Модель и основные соотношения

Рассматривается система, состоящая из глубокой полупроводниковой квантовой ямы, расположенной в интервале $0 \leq z \leq d$, и двух полубесконечных барьеров. Постоянное сильное магнитное поле направлено перпендикулярно плоскости ямы (вдоль оси z). Предполагается, что внешняя электромагнитная волна распространяется вдоль оси z со стороны отрицательных z . Предполагается, что барьеры прозрачны для волны, а в квантовой яме волна поглощается, вызывая резонансные межзонные переходы. Рассматриваются нулевые температуры, в основном состоянии валентная зона полностью заполнена, а зона проводимости пустая. В качестве возбужденных состояний учитываются только такие, в которых один электрон перешел из валентной зоны в зону проводимости, в валентной зоне образовалась дырка. Это справедливо в линейном по амплитуде волны приближении. Будем рассматривать частоты света, близкие к ширине запрещенной зоны квантовой ямы, когда в поглощении принимает участие малая доля валентных электронов, расположенных вблизи экстремума зоны и для которых справедлив метод эффективной массы. Для глубоких квантовых ям в этом случае можно пренебречь туннелированием электронов в барьер и считать границу барьер–квантовая яма резкой, т. е. считать, что в барьере ток отсутствует. Кроме того, уровни, близкие к дну ямы, можно рассматривать в приближении бесконечно глубокой ямы, хотя это ограничение не является принципиальным и теорию можно распространить на случай ям конечной глубины. Рассматриваемая система неоднородна. Поскольку размер неоднородности, каковой в данном случае является квантовая яма, меньше или порядка длины волны света, оптические характеристики такой системы полагаются определить из решения уравнений Максвелла, в которых в качестве плотностей тока и заряда должны фигурировать выражения, полученные на основе микроскопического рассмотрения [19,20].

Окончательные результаты будут получены для одного дискретного уровня электронной системы в квантовой яме. Влиянием других уровней на отражение и поглощение света можно пренебречь, если частота ω_l возбуждающего света достаточно близка к частоте ω_0 межзонного перехода. Дискретными уровнями в квантовой яме в случае $\hbar\mathbf{K}_\perp = 0$, где $\hbar\mathbf{K}_\perp$ — вектор суммарного

квазиимпульса пары электрон–дырка в плоскости ямы, являются экситонные уровни в нулевом магнитном поле либо уровни в сильном магнитном поле, направленном перпендикулярно плоскости ямы. В качестве удобного примера рассматривается уровень электронно-дырочной пары в сильном магнитном поле без учета кулоновского взаимодействия между электроном и дыркой, которое считается слабым возмущением для достаточно сильных полей и не очень широких ям [21]. Однако экситонный эффект не приведет к принципиальным изменениям полученных далее результатов, а только повлияет на величину радиационного уширения электронного возбуждения γ_r , введенного далее. То же относится и к экситонным уровням в нулевом магнитном поле.

Вычислим наведенную возбуждающим светом высокочастотную плотность тока в квантовой яме. Для любой электронной системы, неоднородной в пространстве, можно ввести тензор электропроводности $\sigma_{\alpha\beta}(\mathbf{k}, \omega|\mathbf{r})$, который устанавливает связь между средней плотностью тока $\mathbf{J}(\mathbf{r}, t)$ и электрическим полем

$$J_\alpha(\mathbf{r}, t) = (2\pi)^{-4} \int d\mathbf{k} \int_0^\infty d\omega \sigma_{\alpha\beta}(\mathbf{k}, \omega|\mathbf{r}) \times E_\beta(\mathbf{k}, \omega) \exp[i(\mathbf{k}\mathbf{r} - \omega t)] + \text{c.c.}, \quad (2)$$

$$E_\beta(\mathbf{k}, \omega) = \int d\mathbf{r} \int_{-\infty}^\infty dt E_\beta(\mathbf{r}, t) \exp[-i(\mathbf{k}\mathbf{r} - \omega t)]. \quad (3)$$

Поскольку температура предполагается равной нулю, усреднение плотности тока проводится по основному состоянию электронной системы, т. е.

$$\mathbf{J}(\mathbf{r}, t) = \langle 0|\hat{\mathbf{J}}(\mathbf{r}, t)|0\rangle, \quad (4)$$

где $\hat{\mathbf{J}}(\mathbf{r}, t)$ — оператор плотности тока в линейном по внешнему полю приближении. Для тензора электропроводности используется выражение¹

$$\sigma_{\alpha\beta}(\mathbf{k}, \omega|\mathbf{r}) = (i/\hbar) \int d\mathbf{r}' \int_{-\infty}^\infty dt' \Theta(t') \times \langle [j_\alpha(\mathbf{r}, t), \tilde{d}_\beta(\mathbf{r} - \mathbf{r}', t - t')] | 0 \rangle, \quad (5)$$

где $\Theta(t)$ — функция Хевисайда, $j_\alpha(\mathbf{r}, t)$ — декартова проекция оператора плотности тока в отсутствие внешнего электромагнитного поля, но с учетом постоянного сильного магнитного поля

$$\mathbf{H} = \text{rot } \mathbf{A}^{(0)}(\mathbf{r}), \quad (6)$$

где $\mathbf{A}^{(0)}(\mathbf{r})$ — его векторный потенциал. Этот оператор имеет вид

$$j_\alpha(\mathbf{r}, t) = \exp(i\mathcal{H}t/\hbar) j_\alpha(\mathbf{r}) \exp(-i\mathcal{H}t/\hbar), \quad (7)$$

$$j_\alpha(\mathbf{r}) = (e/2) \sum_i [v_{i\alpha} \delta(\mathbf{r} - \mathbf{r}_i) + \delta(\mathbf{r} - \mathbf{r}_i) v_{i\alpha}], \quad (8)$$

¹ В (5) отброшены вклады, содержащие множители порядка $\kappa v/\omega$, где v — скорость электронов.

$$v_{i\alpha} = -i(\hbar/m_0)\partial/\partial r_{i\alpha} - (e/m_0c)A_{\alpha}^{(0)}(\mathbf{r}_i), \quad (9)$$

\mathcal{H} — гамильтониан системы электронов с учетом сильного магнитного поля, но без внешнего электромагнитного поля,

$$\tilde{d}_{\alpha}(\mathbf{r}, t) = \exp(i\mathcal{H}t/\hbar)\tilde{d}_{\alpha}(\mathbf{r})\exp(-i\mathcal{H}t/\hbar), \quad (10)$$

$$\tilde{d}_{\alpha}(\mathbf{r}) = e \sum_i (r_{i\alpha} - \langle 0|r_{i\alpha}|0\rangle)\delta(\mathbf{r} - \mathbf{r}_i). \quad (11)$$

Используя метод эффективной массы для электронов и дырок вблизи экстремумов зон валентной и проводимости, а также учитывая однородность системы в плоскости квантовой ямы, из (2) и (5) получаем, что

$$\begin{aligned} \bar{J}_{\alpha}(z, t) &= \frac{i}{4\pi^2} \frac{(e/m_0)^2}{\hbar\omega_g a_H^2} \int_{-\infty}^{\infty} d\omega e^{-i\omega t} \\ &\times \sum_{\chi} \Phi_{\chi}(z) \left[\frac{p_{cv\alpha}^{j*} p_{cv\beta}^j}{\omega - \omega_{\chi} + i\gamma_{\chi}/2} + \frac{p_{cv\alpha}^j p_{cv\beta}^{j*}}{\omega + \omega_{\chi} + i\gamma_{\chi}/2} \right] \\ &\times \int_{-\infty}^{\infty} dz' \Phi_{\chi}(z') E_{\beta}(z', \omega), \end{aligned} \quad (12)$$

где $\bar{J}(z, t)$ — наведенная электрическим полем средняя по основному состоянию электронной системы плотность тока. Черта сверху означает дополнительное усреднение плотности тока по элементарной ячейке, допустимое при условии $d \gg a_0$. В (12) введены следующие обозначения: m_0 — масса свободного электрона, $\hbar\omega_g$ — ширина запрещенной зоны, $a_H = (c\hbar/|e|H)^{1/2}$ — магнитная длина, χ — набор индексов

$$\chi = (j, \lambda), \quad \lambda = (n = n_c = n_v, m_c, m_v), \quad (13)$$

j — номер валентной зоны (поскольку валентная зона в кубических кристаллах, которые рассматриваются далее, вырождена), $n_c(n_v)$ — квантовые числа Ландау, $m_c(m_v)$ — квантовые числа размерного квантования электронов (дырок) вдоль оси z ,

$$\Phi_{\lambda}(z) = (2/d) \sin(\pi m_c z/d) \sin(\pi m_v z/d) — \quad (14)$$

произведение зависящих от z волновых функций электронов и дырок,

$$E_{\beta}(z, \omega) = \int_{-\infty}^{\infty} dt \exp(i\omega t) E_{\beta}(z, t), \quad (15)$$

p_{cv}^j — межзонный матричный элемент квазиимпульса, соответствующий переходу из максимума валентной зоны на дно зоны проводимости,

$$\hbar\omega_{\lambda} = \hbar\omega_g + \varepsilon(m_c) + \varepsilon(m_v) + \hbar\Omega_{\mu}(n + 1/2) \quad (16)$$

— энергия электронного возбуждения с индексами λ , $\varepsilon(m_c)(\varepsilon(m_v))$ — энергия уровней размерного квантования электронов (дырок), $\Omega_{\mu} = |e|H/\mu c$ — циклотронная

частота, $\mu = m_e m_h / (m_e + m_h)$, $m_e(m_h)$ — эффективная масса электронов (дырок), γ_{λ} — обратное нерадиационное время жизни возбужденного состояния с квантовыми числами λ . При выводе (12) было использовано соотношение

$$\mathbf{r}_{cv} = -(i/m_0\omega_g)\mathbf{p}_{cv}, \quad (17)$$

где \mathbf{r}_{cv} — межзонный матричный элемент радиуса-вектора \mathbf{r} . Формула (12) применима не только в случае монохроматической возбуждающей волны, но и при импульсном возбуждении.

Далее используется модель (см. [15–18]), в которой векторы \mathbf{p}_{cv}^j для двух вырожденных зон имеют вид

$$\mathbf{p}_{cv}^I = p_{cv}(\mathbf{e}_x - i\mathbf{e}_y)/\sqrt{2}, \quad \mathbf{p}_{cv}^{II} = p_{cv}(\mathbf{e}_x + i\mathbf{e}_y)/\sqrt{2}, \quad (18)$$

где $\mathbf{e}_x, \mathbf{e}_y$ — орты вдоль осей x и y , p_{cv} — вещественная константа. Эта модель соответствует тяжелым дыркам в кристаллах со структурой цинковой обманки, если ось z направлена вдоль оси симметрии 4-го порядка [22,23]. Если использовать векторы круговой поляризации возбуждающего света

$$\mathbf{e}_l = (\mathbf{e}_x \pm i\mathbf{e}_y)/\sqrt{2}, \quad (19)$$

то выполняется свойство сохранения вектора поляризации

$$\begin{aligned} \sum_{j=I,II} \left[\frac{\mathbf{p}_{cv}^{j*}(\mathbf{e}_l \mathbf{p}_{cv}^j)}{\omega - \omega_{\lambda} + i\gamma_{\lambda}/2} + \frac{\mathbf{p}_{cv}^j(\mathbf{e}_l \mathbf{p}_{cv}^{j*})}{\omega + \omega_{\lambda} + i\gamma_{\lambda}/2} \right] \\ = \mathbf{e}_l p_{cv}^2 \left[\frac{1}{\omega - \omega_{\lambda} + i\gamma_{\lambda}/2} + \frac{1}{\omega + \omega_{\lambda} + i\gamma_{\lambda}/2} \right], \end{aligned} \quad (20)$$

где \mathbf{e}_l — любой из векторов (19), что делает дальнейшие вычисления менее громоздкими. Поскольку в случае использования модели (18) проекция $p_{cvz} = 0$, ток $\bar{\mathbf{J}}(z, t)$ является поперечным, наведенная плотность заряда $\rho(z, t) = 0$. Тогда можно выбрать калибровку $\varphi(z, t) = 0$, где $\varphi(z, t)$ — скалярный потенциал, и

$$\mathbf{E}(z, t) = -(1/c)\partial\mathbf{A}(z, t)/\partial t, \quad \mathbf{H}(z, t) = \text{rot}\mathbf{A}(z, t),$$

где $\mathbf{A}(z, t)$ — векторный потенциал электромагнитной волны. Используя соотношение

$$E_{\alpha}(z, \omega) = (i\omega/c)A_{\alpha}(z, \omega), \quad (21)$$

перейдем в формуле (12) к векторному потенциалу. Результат удобно записать в форме

$$\begin{aligned} \bar{J}_{\alpha}(z, t) &= -\frac{e_{l\alpha}\gamma_{r\nu}}{8\pi^2} \sum_{\lambda} \Phi_{\lambda}(z) \\ &\times \int_{-\infty}^{\infty} \omega d\omega e^{-i\omega t} \left[\frac{1}{\omega - \omega_{\lambda} + i\gamma_{\lambda}/2} + \frac{1}{\omega + \omega_{\lambda} + i\gamma_{\lambda}/2} \right] \\ &\times \int_0^d dz' A(z', \omega) \Phi_{\lambda}(z') + \text{с.с.}, \end{aligned} \quad (22)$$

где

$$\gamma_r = (2e^2/\hbar c \nu)(p_{cv}^2/m_0 \hbar \omega_g)(|e|H/m_0 c) - \quad (23)$$

обратное радиационное время жизни электронно-дырочной пары в магнитном поле при условии $\kappa d = 0$ [13,18] и введен скаляр $A(z, \omega)$, определенный соотношением

$$\mathbf{A}(z, \omega) = \mathbf{e}_l A(z, \omega) + \mathbf{e}_l^* A^*(z, -\omega). \quad (24)$$

2. Электрическое поле электромагнитной волны

Дальнейший расчет проводится при двух предположениях. Во-первых, плоская волна считается монохроматической с частотой ω_l , т.е. в формуле (24)

$$A(z, \omega) = 2\pi\delta(\omega - \omega_l)A(z), \quad (25)$$

а вектор $\mathbf{A}(z, t)$ принимает вид

$$\mathbf{A}(z, t) = \mathbf{e}_l \exp(-i\omega_l t)A(z) + \text{с.с.} \quad (26)$$

Во-вторых, учитывается только один возбужденный уровень в квантовой яме. Остальные уровни предполагаются расположенными достаточно далеко от выбранного уровня и их влиянием пренебрегается. Уравнение для скалярной амплитуды $A(z)$ векторного потенциала в области барьеров имеет вид

$$d^2 A/dz^2 + \kappa_1^2 A = 0, \quad \kappa_1 = \nu_1 \omega_l / c, \quad z \leq 0, \quad z \geq d, \quad (27)$$

где ν_1 — показатель преломления барьера. В области квантовой ямы $0 \leq z \leq d$ имеет место уравнение

$$d^2 A/dz^2 + \kappa^2 A = -(4\pi/c)J(z), \quad (28)$$

где скалярная амплитуда плотности тока $J(z)$ в случае учета одного возбужденного уровня, согласно (22) и (25), имеет вид

$$\begin{aligned} J(z) = & -(\gamma_r \nu \omega_l / 4\pi) F(z) \int_0^d dz' A(z') \Phi(z') \\ & \times [(\omega_l - \omega_0 + i\gamma/2)^{-1} + (\omega_l + \omega_0 + i\gamma/2)^{-1}] + \text{с.с.}, \quad (29) \end{aligned}$$

где для упрощения записи введены обозначения

$$\Phi_\lambda(z) = \Phi(z), \quad \omega_\lambda = \omega_0, \quad \gamma_\lambda = \gamma. \quad (30)$$

Вблизи резонанса $\omega_l = \omega_0$ член, пропорциональный $(\omega_l + \omega_0 + i\gamma/2)^{-1}$, в (29) не учитывается. Уравнение (29) является интегро-дифференциальным. Если формально представить решение уравнения (29) как сумму общего решения однородного уравнения и частного решения

неоднородного уравнения, то вместо (29) получается интегральное уравнение Фредгольма второго рода²

$$\begin{aligned} A(z) = & C_1 e^{i\kappa z} + C_2 e^{-i\kappa z} \\ & - \frac{i(\gamma_r/2)F(z)}{\omega_l - \omega_0 + i\gamma/2} \int_0^d dz' A(z') \Phi(z'). \quad (31) \end{aligned}$$

C_1 и C_2 — произвольные константы, которые определяются из граничных условий в плоскостях $z = 0$ и $z = d$, а функция $F(z)$ имеет вид

$$\begin{aligned} F(z) = & \exp(i\kappa z) \int_0^z dz' \exp(-i\kappa z') \Phi(z') \\ & + \exp(-i\kappa z) \int_z^d dz' \exp(i\kappa z') \Phi(z'). \quad (32) \end{aligned}$$

Если $\gamma_r \ll \gamma$, то в уравнении (31) интегральный член является малым возмущением и достаточно учесть первое приближение по интегральному члену. Если же $\gamma_r \geq \gamma$, то необходимо учесть весь итерационный ряд. Представляя искомую функцию $A(z)$ в виде ряда

$$\begin{aligned} A(z) = & A_0(z) + A_1(z) + A_2(z) + \dots, \\ A_0(z) = & C_1 \exp(i\kappa z) + C_2 \exp(-i\kappa z) \quad (33) \end{aligned}$$

и подставляя ее в уравнение (31), получим рекуррентное соотношение

$$A_j(z) = sF(z) \int_0^d dz' \Phi(z') A_{j-1}(z'), \quad j = 1, 2, 3, \dots$$

Если его использовать, то ряд (33) сводится к геометрической прогрессии

$$\begin{aligned} A(z) = & A_0(z) - hsF(z)(1 - s\varepsilon + s^2\varepsilon^2 - \dots) \\ = & A_0(z) - hsF(z)/(1 + s\varepsilon), \quad (34) \end{aligned}$$

где для простоты обозначено

$$\int_0^d dz \Phi(z) A_0 = h, \quad i(\gamma_r/2)/(\omega_l - \omega_0 + i\gamma/2) = s$$

и введена комплексная функция

$$\varepsilon = \varepsilon' + i\varepsilon'' = \int_0^d dz' \Phi(z') F(z'). \quad (35)$$

² Подобное уравнение рассматривалось в работе [24] для инверсионного слоя.

После подстановки h, s и ε в (34) получается решение в виде

$$A(z) = C_1 e^{i\kappa z} + C_2 e^{-i\kappa z} - \frac{i(\tilde{\gamma}_r/2)F(z)}{\omega_l - \omega_0 + i(\gamma + \gamma_r \varepsilon)/2} \times \int_0^d dz' (C_1 e^{i\kappa z'} + C_2 e^{-i\kappa z'}) \Phi(z'). \quad (36)$$

Комплексная величина ε определяет изменение уширения и сдвиг уровня, которые появляются вследствие пространственной дисперсии волны. Как следует из определения (35), в предельном случае $\kappa d = 0$, $\varepsilon = \delta_{m_c m_v}$, а интеграл в правой части решения (36) равен $(C_1 + C_2)\delta_{m_c m_v}$, т. е. в этом предельном случае вклад в ток вносят только разрешенные переходы $m_c = m_v$. Если $\kappa d \neq 0$, то запрещенный переход $m_c \neq m_v$ также приводит к межзонному току и появлению в знаменателе решения (36) величины ε , однако $\varepsilon \rightarrow 0$, если $\kappa d \rightarrow 0$. Заметим также, что функция (32) $F(z) = \delta_{m_c m_v}$, если $\kappa d \rightarrow 0$. Далее рассматривается только случай разрешенных переходов.

Решением уравнения (27) является

$$A^l(z) = A_0 \exp(i\kappa_1 z) + C_R \exp(-i\kappa_1 z), \quad z \leq 0, \\ A^r(z) = C_T \exp(i\kappa_1 z), \quad z \geq d, \quad (37)$$

C_R определяет амплитуду отраженной, C_T — амплитуду прошедшей сквозь яму волны. На границах $z = 0$ и $z = d$ непрерывность магнитного поля волны приводит к непрерывности dA/dz , непрерывность тангенциальных проекций электрического поля — к непрерывности $A(z)$. В результате получаем следующие выражения для коэффициентов C_1, C_2, C_R и C_T :

$$C_i = A_0 \mathcal{C}_i \quad (i = 1, 2), \quad C_{R(T)} = A_0 \mathcal{C}_{R(T)}, \\ C_1 = (2/\Delta) \exp(-i\kappa d) [1 + \zeta + (1 - \zeta)\mathcal{N}], \\ C_2 = -(2/\Delta)(1 - \zeta) [\exp(i\kappa d) + \mathcal{N}], \\ C_R = \rho/\Delta, \\ C_T = 4\zeta \exp(-i\kappa_1 d) [1 + \exp(-i\kappa d)\mathcal{N}]/\Delta, \quad (38) \\ \Delta = (\zeta + 1)^2 \exp(-i\kappa d) - (\zeta - 1)^2 \exp(i\kappa d) - 2(\zeta - 1)\mathcal{N}[(\zeta + 1) \exp(-i\kappa d) + \zeta - 1], \\ \rho = 2i(\zeta^2 - 1) \sin \kappa d + 2[(\zeta^2 + 1) \exp(-i\kappa d) + \zeta^2 - 1]\mathcal{N}. \quad (39)$$

В формулах (38), (39) введены обозначения

$$\zeta = \kappa/\kappa_1 = \nu/\nu_1, \quad (40)$$

$$\mathcal{N} = -sF^2(0) = -i(\tilde{\gamma}_r/2)F^2(0)/[\omega_l - \omega_0 + i(\gamma + \gamma_r \varepsilon)/2]. \quad (41)$$

Возвращаясь к временному представлению и переходя в формуле (37) от $A(z)$ к электрическим полям слева

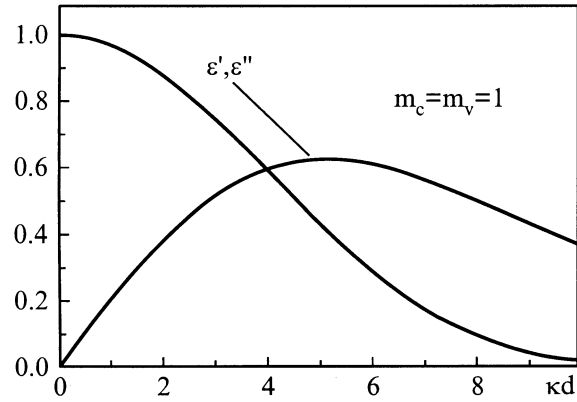


Рис. 1. Функции ε' и ε'' , определяющие изменение ширины и сдвиг пиков отражения, пропускания и поглощения при учете пространственной дисперсии в случае однородной среды. $m_c(m_v)$ — квантовые числа размерного квантования электронов (дырок).

($E^l(z, t)$) и справа ($E^r(z, t)$) от квантовой ямы, получим, что

$$\mathbf{E}^l(z, t) = \mathbf{e}_l E_0 e^{-i\omega t} [e^{i\kappa_1 z} + C_R e^{-i\kappa_1 z}] + \text{c.c.}, \quad (42)$$

$$\mathbf{E}^r(z, t) = \mathbf{e}_l E_0 C_T e^{-i(\omega t - \kappa_1 z)} + \text{c.c.} \quad (43)$$

Электрическое поле внутри ямы определяется формулой (36), если $A(z)$ заменить на $E(z)$ и перейти к временному представлению. В выражения для полей входят ε и $F(0)$, а в поле внутри ямы входит еще $F(z)$, которая вносит вклад в координатную зависимость поля. Для случая $m_c = m_v = m$ $F(z)$ и ε равны

$$F(z) = iB \{ 2 - \exp(i\kappa z) - \exp[i\kappa(d - z)] - (\kappa d/\pi m)^2 \sin^2(\pi m z/d) \}, \quad (44)$$

$$F(0) = F(d) = iB [1 - \exp(i\kappa d)],$$

$$B = \frac{4\pi^2 m^2}{\kappa d [4\pi^2 m^2 - (\kappa d)^2]}, \quad (45)$$

$$\varepsilon' = F^2(0) \exp(-i\kappa d) = 4B^2 \sin^2(\kappa d/2),$$

$$\varepsilon'' = 2B [1 - B \sin \kappa d - 3(\kappa d)^2/8\pi^2 m^2]. \quad (46)$$

Зависимость ε' и ε'' от параметра κd представлена на рис. 1.

В предельном случае однородной среды ($\kappa_1 = \kappa$) получаем

$$\mathbf{E}^l(z, t) = \mathbf{e}_l E_0 e^{-i\omega t} \left[e^{i\kappa z} - \frac{i(\tilde{\gamma}_r/2)}{\Omega + i\Gamma/2} e^{i\kappa(d-z)} \right] + \text{c.c.}, \quad (47)$$

$$\mathbf{E}^r(z, t) = \mathbf{e}_l E_0 e^{-i(\omega t - \kappa z)} \left[1 - \frac{i(\tilde{\gamma}_r/2)}{\Omega + i\Gamma/2} \right] + \text{c.c.}, \quad (48)$$

где введены новые обозначения

$$\Omega = \omega_l - \omega_0 - \varepsilon'' \gamma_r / 2, \quad \Gamma = \gamma + \tilde{\gamma}_r,$$

$$\tilde{\gamma}_r = \gamma_r \left| \int_0^d dz \exp(iz) \Phi(z) \right|^2 = \gamma_r \varepsilon'. \quad (49)$$

Поле внутри ямы имеет вид

$$\mathbf{E}(z, t) = \mathbf{e}_l E_0 e^{-i\omega_l t} \left[e^{iz} - \frac{i(\gamma_r/2)F(0)F(z)}{\Omega + i\Gamma/2} \right] + \text{с.с.} \quad (50)$$

Величина $\tilde{\gamma}_r$ совпадает с вычисленным в [13] и [18] обратным радиационным временем жизни электронно-дырочной пары в сильном магнитном поле при $\mathbf{K}_\perp = 0$ в случае произвольной величины $\varkappa d$. Сравнивая выражения (47) и (48) с соответствующими выражениями в [18] для полей слева и справа от ямы, находим, что в случае $\varkappa d \neq 0$ величина γ_r заменяется на $\tilde{\gamma}_r$, происходит сдвиг уровня на величину $\gamma_r \varepsilon''$ и в выражении для наведенной волны слева от ямы появляется дополнительный множитель $\exp(i\varkappa d)$. Можно убедиться в том, что наведенное поле слева от ямы при замене $d - z$ на z совпадает с наведенным полем справа от ямы. Из формулы (46) и рис. 1 видно, что $\tilde{\gamma}_r$ уменьшается с ростом $\varkappa d$. При $\varkappa d \gg 1$ $\tilde{\gamma}_r \rightarrow 0$, что соответствует переходу от квантовой ямы к объемному кристаллу. В этом случае вклад одного уровня в наведенные поля и, следовательно, в поглощение и отражение стремится к нулю.

В предельном случае $\gamma_r = 0$ из формул (42) и (43) получается известное решение для монохроматической волны, распространяющейся в среде, содержащей прозрачный слой другого вещества [26].

3. Отражение, поглощение и пропускание электромагнитной волны

Итак, согласно формуле (42) вектор электрического поля отраженной волны $\Delta \mathbf{E}^l(z, t)$ круговой поляризации равен

$$\Delta \mathbf{E}^l(z, t) = \mathbf{e}_l E_0 C_R e^{-i(\omega_l t + \varkappa_1 z)} + \text{с.с.} \quad (51)$$

Вектор поля прошедшей волны в соответствии с формулой (43) имеет вид

$$\mathbf{E}^r(z, t) = \mathbf{e}_l E_0 C_T e^{-i(\omega_l t - \varkappa_1 z)} + \text{с.с.} \quad (52)$$

Введем по аналогии с [18] долю отраженной энергии \mathcal{R} , которая определяется как отношение модуля отраженного потока энергии к модулю потока падающего, т. е.

$$\mathcal{R} = |C_R|^2. \quad (53)$$

Доля прошедшей энергии \mathcal{T} равна

$$\mathcal{T} = |C_T|^2, \quad (54)$$

а доля поглощенной энергии \mathcal{A} определяется как

$$\mathcal{A} = 1 - \mathcal{R} - \mathcal{T}. \quad (55)$$

Рассмотрим сначала влияние пространственной дисперсии на частотную зависимость отражения, когда среда однородна. В этом случае из формул (38), (39) и (53)–(55) получаем

$$\mathcal{R} = \frac{(\tilde{\gamma}_r/2)^2}{\Omega^2 + \Gamma^2/4}, \quad \mathcal{A} = \frac{\gamma \tilde{\gamma}_r/2}{\Omega^2 + \Gamma^2/4},$$

$$\mathcal{T} = \frac{\Omega^2 + \gamma^2/4}{\Omega^2 + \Gamma^2/4}. \quad (56)$$

Эти выражения по форме совпадают с таковыми для случая отсутствия дисперсии. Различие заключается в замене константы γ_r на функцию $\tilde{\gamma}_r$ ($\tilde{\gamma}_r \rightarrow \gamma_r$ при

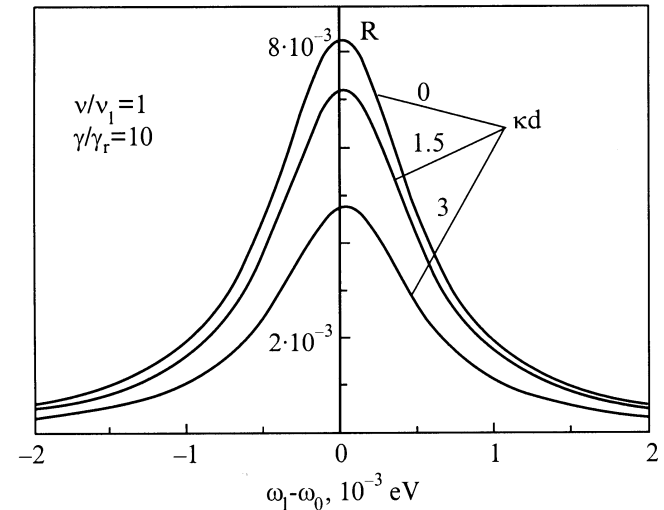


Рис. 2. Влияние пространственной дисперсии на частотную зависимость отражения \mathcal{R} для однородной среды. $\zeta = 1$, $\gamma/\gamma_r = 10$, $\gamma_r = 10^{-4}$ eV, $m_c = m_v = 1$.

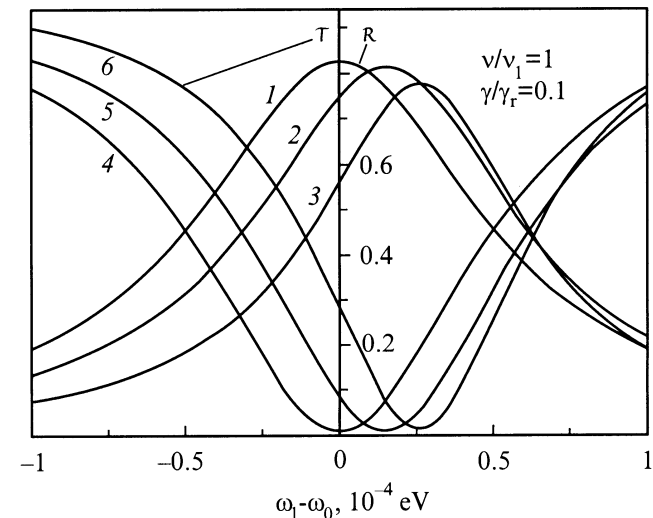


Рис. 3. Влияние пространственной дисперсии на частотную зависимость отражения \mathcal{R} (кривые 1–3) и пропускания \mathcal{T} (4–6) для однородной среды, $\zeta = 1$, $\gamma/\gamma_r = 0.1$, $\gamma_r = 10^{-4}$ eV, $m_c = m_v = 1$. Кривые 1, 4 — $\varkappa d = 0$; 2, 5 — $\varkappa d = 1.5$; 3, 6 — $\varkappa d = 3$.

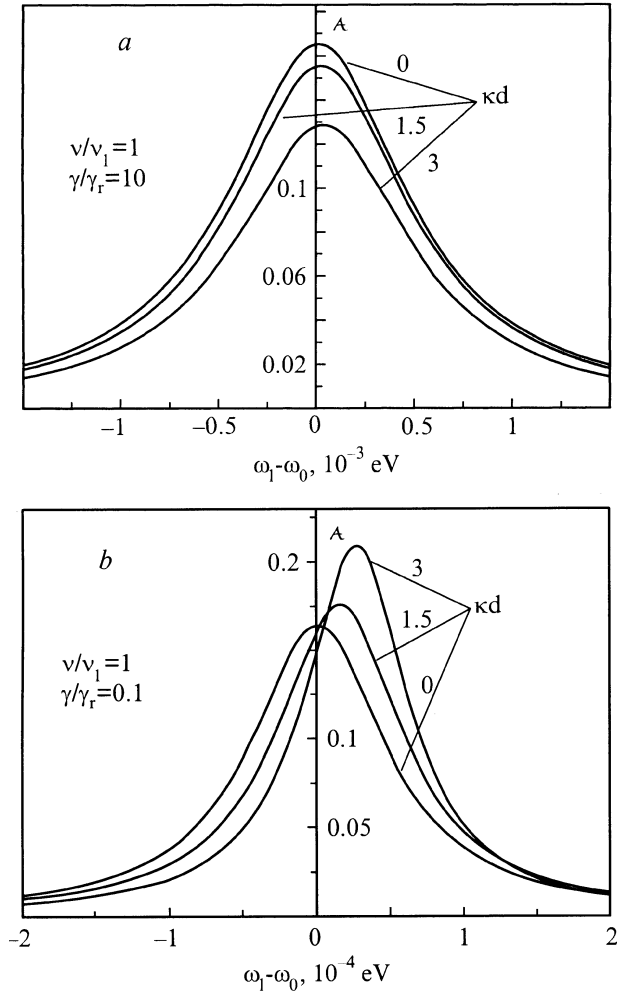


Рис. 4. Влияние пространственной дисперсии на частотную зависимость поглощения \mathcal{A} для однородной среды. $\zeta = 1$, $\gamma_r = 10^{-4}$ eV, $m_c = m_v = 1$; $a - \gamma \gg \gamma_r$, $b - \gamma \ll \gamma_r$.

$\kappa d \rightarrow 0$) и в появлении функции ε'' , которая определяет сдвиг экстремума соответствующей кривой и исчезает в пределе $\kappa d = 0$.

В отражении пространственная дисперсия проявляется сильнее всего в случае $\gamma \gg \gamma_r$. Действительно, если $\gamma \ll \gamma_r$, то максимум кривой отражения из (56) $\mathcal{R}_{\max} \cong 1$ и практически не зависит от κd . Если же $\gamma \gg \gamma_r$, то $\tilde{\gamma}_r$ в знаменателе (56) вносит малый вклад в зависимость от κd и эта зависимость определяется функцией $\tilde{\gamma}_r$ в числителе. При этом однако $\mathcal{R}_{\max} = (\tilde{\gamma}_r/\gamma)^2 \ll 1$. В пропускании картина обратная: при $\gamma \ll \gamma_r$ минимум кривой пропускания $\mathcal{T}_{\min} = (\gamma/\tilde{\gamma})^2 \ll 1$ и заметно зависит от κd , увеличиваясь с ростом κd , когда же $\gamma \gg \gamma_r$, то $\mathcal{T} \cong 1$ и от κd зависит очень слабо. Максимум пика поглощения в этих предельных случаях равен $\mathcal{A}_{\max} = 2\gamma/\tilde{\gamma}_r$ ($\gamma \ll \gamma_r$) и $\mathcal{A}_{\max} = 2\tilde{\gamma}_r/\gamma$ ($\gamma \gg \gamma_r$), в обоих предельных случаях $\mathcal{A}_{\max} \ll 1$, но $\mathcal{A}_{\max} \gg \mathcal{R}_{\max}$ ($\gamma \gg \gamma_r$) и $\mathcal{A}_{\max} \gg \mathcal{T}_{\min}$ ($\gamma \ll \gamma_r$). Частотная зависимость \mathcal{R} , \mathcal{A} и \mathcal{T} для предельных случаев $\gamma \gg \gamma_r$ и $\gamma \ll \gamma_r$ приведена на рис. 2–4.

На рис. 2 видно, как пространственная дисперсия влияет на высоту и ширину пика отражения, которые уменьшаются с ростом κd , а сдвиг пика по частоте практически незаметен, так как $\varepsilon''\gamma_r \ll \gamma$. На рис. 3, наоборот, дисперсия приводит к сдвигу пика отражения, не изменяя его формы. На этом рисунке показано также пропускание \mathcal{T} для случая $\gamma \ll \gamma_r$. Здесь имеет место как сдвиг \mathcal{T}_{\min} с ростом κd , так и его рост, который плохо заметен ввиду выбранного масштаба по оси ординат. Поглощение \mathcal{A} для двух предельных случаев приведено на рис. 4. На серии узких пиков (рис. 4, b , случай $\gamma \ll \gamma_r$) хорошо заметен как рост \mathcal{A}_{\max} , так и его сдвиг. Появление сдвига (как и на рис. 2 для \mathcal{T}) связано с тем, что $\mathcal{A}_{\max} \sim \tilde{\gamma}_r^{-1}$ и $\varepsilon''\gamma_r \cong \tilde{\gamma}_r$. Кривые на рис. 4, a соответствуют случаю $\gamma \gg \gamma_r$, сдвиг здесь мал, а \mathcal{A}_{\max} уменьшается с ростом κd .

Если учесть неоднородность среды, т.е. считать, что $\zeta \neq 1$ ($\nu \neq \nu_1$), а пространственной дисперсией пренебречь, то вместо (56) получаются выражения

$$\mathcal{R} = \frac{\zeta^2(\gamma_r/2)^2}{\Omega^2 + (\gamma + \zeta\gamma_r)^2/4}, \quad \mathcal{A} = \frac{\zeta\gamma\gamma_r/2}{\Omega^2 + (\gamma + \zeta\gamma_r)^2/4},$$

$$\mathcal{T} = \frac{\Omega^2 + \gamma^2/4}{\Omega^2 + (\gamma + \zeta\gamma_r)^2/4}. \quad (57)$$

Из (57) видно, что в этом предельном случае вместо γ_r фигурирует величина $\zeta\gamma_r$, определенная формулой (23), в которой показатель преломления ν_1 относится к веществу барьера. Это совпадает с результатом, полученным в [18].

4. Общий случай

В этом разделе рассматривается общий случай, когда среда неоднородна и существенна пространственная дисперсия. Используя (38), (39) и (41), отражение можно привести к виду

$$\mathcal{R} = \left\{ \frac{(\tilde{\gamma}_r/2)^2 X_1}{\Omega^2 + \Gamma^2/4} + v_1 - \frac{(\tilde{\gamma}_r/2)(Y_1\Omega + Z_1\Gamma/2)}{\Omega^2 + \Gamma^2/4} \right\} / |\Delta|^2, \quad (58)$$

$$|\Delta|^2 = v + \frac{(\tilde{\gamma}_r/2)^2 X - (\tilde{\gamma}_r/2)(Y\Omega + Z\Gamma/2)}{\Omega^2 + \Gamma^2/4}, \quad (59)$$

где

$$v = 4\zeta^2 \cos^2 \kappa d + (\zeta^2 + 1)^2 \sin^2 \kappa d,$$

$$v_1 = (\zeta^2 - 1)^2 \sin^2 \kappa d, \quad (60)$$

$$X = 2(\zeta - 1)^2 [\zeta^2 + 1 + (\zeta^2 - 1) \cos \kappa d],$$

$$X_1 = 2[\zeta^4 + 1 + (\zeta^4 - 1) \cos \kappa d], \quad (61)$$

$$Y = 2(\zeta - 1)^2 (\zeta + 1) [(\zeta + 1) \cos \kappa d + \zeta - 1] \sin \kappa d,$$

$$Y_1 = 2\zeta^2 (\zeta^2 - 1) \sin \kappa d, \quad (62)$$

$$Z = 2(\zeta - 1) \{ (\zeta - 1)(\zeta + 1)^2 \sin^2 \kappa d - 2\zeta [(\zeta + 1) \cos \kappa d + \zeta - 1] \},$$

$$Z_1 = 2(\zeta - 1)^3 (\zeta + 1) \sin \kappa d. \quad (63)$$

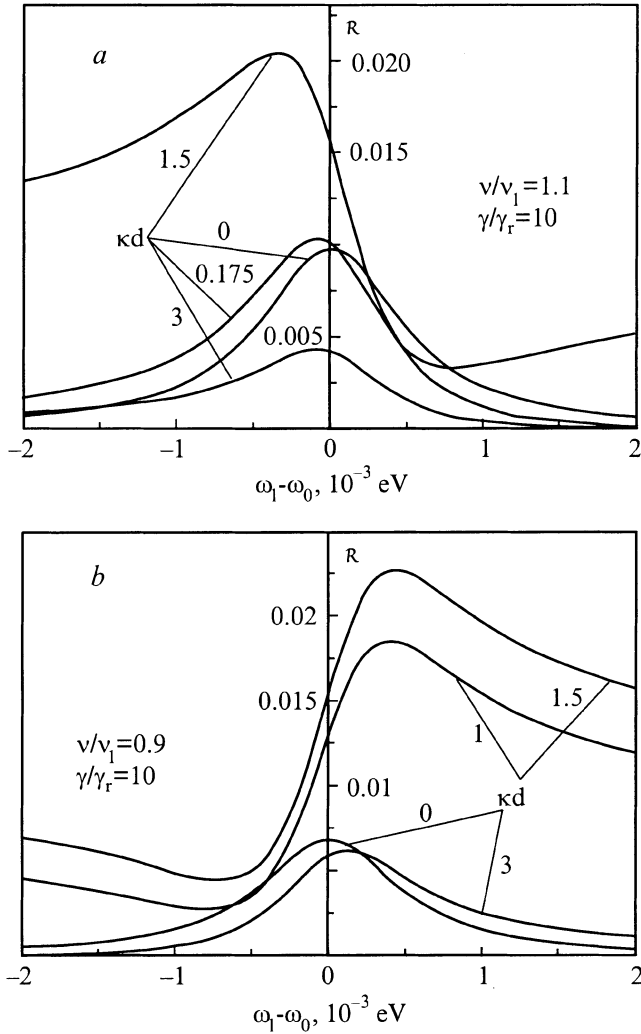


Рис. 5. Частотная зависимость отражения \mathcal{R} при учете пространственной дисперсии света и неоднородности среды. $\gamma \gg \gamma_r$, $\gamma_r = 10^{-4}$, $m_c = m_v = 1$; *a* — $\zeta > 1$, кривая $\kappa d = 0.175$ относится к GaAs, *b* — $\zeta < 1$.

В знаменателе функции \mathcal{R} , определенном формулой (59), главный вклад вносит функция v ($v \gg 1$), остальные члены малы и их можно не учитывать. Исключение составляет только член $\sim \Gamma$, который вносит заметный вклад в случае $\gamma \ll \tilde{\gamma}_r$. В числителе \mathcal{R} функция v_1 определяет отражение от границ квантовой ямы. Это отражение в частотном интервале, соответствующем ширине пика, не зависит от частоты света и исчезает, как это видно из формулы (60), в предельных случаях $\kappa d \rightarrow 0$ и $\zeta \rightarrow 0$. При $\gamma \ll \tilde{\gamma}_r$ главный вклад в отражение вносит первый член в числителе (58), в этом случае $\mathcal{R} \simeq 1$. Если же $\gamma \gg \tilde{\gamma}_r$, то первый член становится малым и существенную роль играют как функция v_1 , так и член $\sim \Omega$, который приводит к асимметрии пика отражения. Частотная зависимость отражения представлена на рис. 5, где видна резкая асимметрия пиков и немонотонная зависимость \mathcal{R}_{\max}

от κd . Немонотонность определяется величиной и знаком функции Y_1 из (62). Например, Y_1 изменяется от $Y_1 = 0.507$ (кривая $\kappa d = 1.5$ на рис. 5, *a*) до $Y_1 = 0.072$ (кривая $\kappa d = 3$). В последнем случае вклад $Y_1 \Omega$ в форму пика мал, асимметрия незаметна, так как все определяется первым членом в (58). То же самое имеет место и на рис. 5, *b*, только там $Y_1 < 0$ и максимуму пика соответствует $\Omega > 0$. В случае $\gamma_r \rightarrow 0$

$$\mathcal{R} = \frac{v_1}{v} = \frac{(\zeta^2 - 1)^2 \sin^2 \kappa d}{4\zeta^2 \cos^2 \kappa d + (\zeta^2 + 1)^2 \sin^2 \kappa d} \quad (64)$$

и соответствует отражению от плоского прозрачного слоя, помещенного в среду с другим показателем преломления. Сравнивая рис. 2 и 5, можно заключить, что неоднородность среды приводит к более резкому проявлению зависимости отражения от параметра κd .

Поглощение \mathcal{A} и пропускание \mathcal{T} имеют вид

$$\mathcal{A} = \frac{4\zeta[\zeta^2 + 1 + (\zeta^2 - 1) \cos \kappa d] \gamma \tilde{\gamma}_r}{|\Delta|^2(\Omega^2 + \Gamma^2/4)}, \quad (65)$$

$$\mathcal{T} = \frac{4\zeta^2(\Omega^2 + \gamma^2/4)}{|\Delta|^2(\Omega^2 + \Gamma^2/4)}, \quad (66)$$

которые в предельных случаях $\zeta = 1$ и $\kappa d = 0$ переходят соответственно в (56) и (57). Как уже упоминалось, в формировании кривой отражения существенную роль играют функция v_1 , которая связана с отражением от границ ямы, и член $\sim \Omega$ в числителе. Именно они определяют сильный сдвиг максимума пика и появление минимума. С другой стороны, величины \mathcal{A} из (65) и \mathcal{T} из (67) по форме совпадают с таковыми для случая однородной среды, отличие заключается в появлении множителей, которые практически не зависят от Ω и слабо зависят от κd . Поэтому влияние неоднородности среды на поглощение и пропускание гораздо слабее, чем на отражение.

Общий вывод, который можно сделать на основе проведенного анализа, заключается в том, что учет пространственной дисперсии электромагнитной волны и неопределенности среды сильнее всего влияет на отражение, радикально изменяя форму пика. Изменения наиболее заметны в предельном случае $\gamma \gg \tilde{\gamma}_r$, когда $\mathcal{R}_{\max} \simeq (\tilde{\gamma}_r/\gamma)^2$. Это связано с тем, что функция v_1 из (60) и линейный по Ω член в выражении (58) малы и могут влиять на первый член, только если он мал. В другом предельном случае $\gamma \ll \tilde{\gamma}_r$ $\mathcal{R}_{\max} \simeq 1$ и их влияние практически незаметно. Если учесть только пространственную дисперсию или только неоднородность среды, то отражение меняется сравнительно слабо, так как в этих предельных случаях $v_1 = Y = Y_1 = 0$. На величины \mathcal{A} и \mathcal{T} при $\gamma \gg \tilde{\gamma}_r$ неоднородность среды и пространственная дисперсия оказывают меньшее влияние. Действительно, из (65) следует, что в этом случае $\mathcal{T} \simeq 1$ и сильное изменение малой величины \mathcal{R}_{\max} слабо влияет на \mathcal{T}_{\min} . То же самое относится и к $\mathcal{A}_{\max} \gg \mathcal{R}_{\max}$.

Зависимость \mathcal{R} , \mathcal{A} и \mathcal{T} от параметра κd , характеризующего пространственную дисперсию волны в квантовой яме, была получена для прямоугольных квантовых ям и бесконечно высоких барьеров. В реальных полупроводниковых гетероструктурах примесные электроны барьера перетекают в квантовую яму, искажая вблизи границ ее прямоугольную форму. Поэтому развитая выше теория справедлива для чистых веществ и широких ям, когда размер искаженных приграничных областей мал по сравнению с шириной ямы. Кроме того, теория справедлива для глубоких ям, положение первых уровней в которых и соответствующие им волновые функции мало отличаются от положения уровней и волновых функций в бесконечно глубокой яме. Используемое выше одноуровневое приближение предполагает, что соседние уровни в квантовой яме находятся по энергии дальше, чем ширина рассматриваемого уровня. Это налагает ограничение сверху на ширину ямы. Например, для $d = 500 \text{ \AA}$ и $m_c = 0.06m_0$ разность двух низших уровней размерного квантования $\simeq 10^{-3} \text{ eV}$.

Полученные выше результаты справедливы в случае слабого влияния кулоновского взаимодействия на спектр рожденной светом электронно-дырочной пары. Эти поправки малы при выполнении неравенств [21,26]

$$a_{\text{exc}}^2 \gg a_H^2, \quad a_{\text{exc}} \gg d, \quad (67)$$

где a_H — магнитная длина, а радиус экситона Ванье–Мотта при нулевом магнитном поле $a_{\text{exc}} = \hbar^2 \epsilon_0 / \mu e^2$. Видно, что первое неравенство (67) может быть выполнено при достаточно сильных магнитных полях, а второе выполняется тем лучше, чем больше диэлектрическая проницаемость материала квантовой ямы ϵ_0 и чем меньше приведенная эффективная масса электрона и дырки μ . Заметим, что второе условие (67) для гетероструктуры на основе арсенида галлия выполняется при значениях $d \leq 150 \text{ \AA}$, когда пространственная дисперсия и неоднородность среды оказывают сравнительно небольшое влияние на исследуемые величины. Это видно из рис. 5, а, где кривая $\kappa d = 0.175$ соответствует квантовой яме из арсенида галлия шириной $d \simeq 62 \text{ \AA}$. Второе неравенство здесь приблизительно выполняется, но сдвиг и асимметрия пика отражения невелики. Если второе неравенство (67) не выполняется, то зависимость волновой функции от координаты z не может быть представлена в виде (14). Однако экситонный эффект не приведет к принципиальным изменениям полученных результатов, а только повлияет на величину радиационного уширения электронного возбуждения γ_r , введенного выше. То же относится и к экситонным уровням в нулевом магнитном поле.

С.Т. Павлов благодарит Университет Закатекаса и Национальный совет Мексики по науке и технологии (CONACyT) за финансовую поддержку и гостеприимство Д.А. Контрерас-Солорио благодарит CONACyT (27736-E) за финансовую поддержку.

Список литературы

- [1] H. Stolz. Time Resolved Light Scattering from Excitons. Springer Tracts in Modern Physics. Springer, Berlin (1994).
- [2] J. Shah. Ultrafast Spectroscopy of Semiconductors and Semiconductor Nanostructures. Springer, Berlin (1996).
- [3] H. Hang, S.W. Koch. Quantum Theory of the Optical and Electronic Properties of Semiconductors. World Scientific (1993).
- [4] S. Mucamel. Principles of Nonlinear Optical Spectroscopy. Oxford University Press, NV, Oxford (1995).
- [5] L.C. Andreani, F. Tassone, F. Bassani. Sol. State Commun. **77**, 11, 641 (1991).
- [6] L.C. Andreani. In: Confined Electrons and Photons / Ed. by E. Burstein, C. Weisbuch. Plenum Press, N. Y. (1995). P. 57.
- [7] Е.Л. Ивченко. ФТТ **33**, 8, 2388 (1991).
- [8] F. Tassone, F. Bassani, L.C. Andreani. Phys. Rev. **B45**, 11, 6023 (1992).
- [9] T. Stroucken, A. Knorr, C. Anthony, P. Thomas, S.W. Koch, M. Koch, S.T. Gundiff, J. Feldman, E.O. Göbel. Phys. Rev. Lett. **74**, 9, 2391 (1995).
- [10] T. Stroucken, A. Knorr, P. Thomas, S.W. Koch. Phys. Rev. **B53**, 4, 2026 (1996).
- [11] M. Hübner, T. Kuhl, S. Haas, T. Stroucken, S.W. Koch, R. Hey, K. Ploog. Sol. State Commun. **105**, 2, 105 (1998).
- [12] I.G. Lang, V.I. Belitsky, M. Cardona. Phys. Stat. Sol. (a) **164**, 1, 307 (1997).
- [13] I.G. Lang, V.I. Belitsky. Phys. Lett. **A245**, 3–4, 329 (1998).
- [14] I.G. Lang, V.I. Belitsky. Sol. State Commun. **107**, 10, 577 (1998).
- [15] И.Г. Ланг, Л.И. Коровин, Д.А. Контрерас-Солорио, С.Т. Павлов. ФТТ **43**, 6, 1117 (2001), в печати; Cond-mat/0004178.
- [16] Л.И. Коровин, И.Г. Ланг, Д.А. Контрерас-Солорио, С.Т. Павлов. ФТТ **42**, 12, 2230 (2000); Cond-mat/0006364.
- [17] D.A. Contreras-Solorio, S.T. Pavlov, L.I. Korovin, I.G. Lang. Phys. Rev. **B62**, 23, 16 815 (2000); Cond-mat/0002229.
- [18] I.G. Lang, L.I. Korovin, D.A. Contreras-Solorio, S.T. Pavlov. Cond-mat/0001248.
- [19] C.V. Duke. Phys. Rev. **168**, 816 (1968).
- [20] А.Я. Шик. ФТТ **12**, 1, 67 (1970).
- [21] И.В. Лернер, Ю.Е. Лозовик. ЖЭТФ **78**, 3, 1167 (1980).
- [22] J.M. Luttinger, W. Kohn. Phys. Rev. **97**, 869 (1955).
- [23] И.М. Цидильковский. Зонная структура полупроводников. Наука, М. (1978).
- [24] Л.И. Коровин, Б.Э. Эшпулатов. ФТТ **21**, 12, 3703 (1979).
- [25] Л.И. Коровин, И.Г. Ланг, С.Т. Павлов. ЖЭТФ **118**, 2(8), 388 (2000); Cond-mat/0004373.
- [26] Л.Д. Ландау, Е.М. Лифшиц. Электродинамика сплошных сред. Наука, М. (1982). С. 412.